鉄道シールドトンネルを対象とした 横断方向の耐震検討例

舩越 宏治¹・津野 究²・藤田 輝一³・木下 果穂⁴・小島 謙一⁵川西 智浩⁶・坂田 智基⁷・室谷 耕輔⁸

1正会員 鉄道総合技術研究所 構造物技術研究部 (〒185-8540 東京都国分寺市光町二丁目8-38)

E-mail:funakoshi.koji.82@rtri.or.jp

2正会員 鉄道総合技術研究所 構造物技術研究部 (〒185-8540 東京都国分寺市光町二丁目8-38)

E-mail:tsuno.kiwamu.00@ rtri.or.jp

3正会員 鉄道総合技術研究所 構造物技術研究部 (〒185-8540 東京都国分寺市光町二丁目8-38)

E-mail:fujita.kiichi.91@ rtri.or.jp

4正会員 鉄道総合技術研究所 構造物技術研究部 (〒185-8540 東京都国分寺市光町二丁目8-38)

E-mail:kinoshita.kaho.96@ rtri.or.jp

5正会員 鉄道総合技術研究所 鉄道地震工学研究センター(〒185-8540東京都国分寺市光町二丁目8-38)

E-mail:kojima.kenichi.03@ rtri.or.jp

6正会員 鉄道総合技術研究所 鉄道地震工学研究センター(〒185-8540東京都国分寺市光町二丁目8-38)

E-mail:kawanishi.tomohiro.35@ rtri.or.jp

⁷正会員 中央復建コンサルタンツ株式会社 鉄道系部門 (〒102-0083 東京都千代田区麹町二丁目10-13) E-mail:sakata_t @cfk.co.jp

⁸正会員 中央復建コンサルタンツ株式会社 鉄道系部門(〒102-0083 東京都千代田区麹町二丁目10-13) E-mail:muroya_k @cfk.co.jp

鉄道シールドトンネルは、地震の影響は小さいと考えられているが、地盤条件が局所的に変化する場合や土被りが急変する場合などの条件下においては、地震による影響が大きくなることも想定される。そこで、鉄道シールドトンネルを対象にトンネル横断方向の地震時の検討を行った。一次元地盤応答解析および応答変位法による地震時の検討を行った結果、トンネルが均一な地盤内に位置する条件では、曲げ破壊形態の損傷は損傷レベル1に概ねおさまった。一方、トンネルが基盤層の近傍に位置する条件では、損傷レベル2以内であり、トンネルが基盤に1/2埋没するケースでは損傷レベル3を部分的に超えたが、損傷発生箇所はごく一部であった。せん断破壊形態の損傷は、トンネルが基盤に1/2または1/4埋没するケースにおいて、損傷レベル1を超える結果となった。

Key Words: shield tunnel, seismic design, lateral direction, ground leaction confficient

1. はじめに

鉄道シールドトンネルは、地山に囲まれたアーチ形状の構造物であり脆弱的な破壊が生じにくいこと、地震時には周辺地盤と同様に挙動することから地震の影響は小さいと考えられている。ただし、地盤条件が局所的に変化する場合や土被りが急変する場合などの条件下においては、地震時による影響が大きくなることも想定される。そこで、鉄道シールドトンネルを対象に、「トンネルが均一な地盤内にある場合」および「トンネルが基盤層

の近傍にある場合」についてトンネル横断方向の地震時 の検討を行ったので報告する.

2. 検討概要

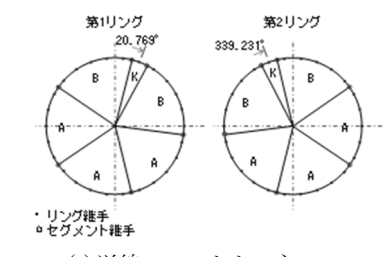
(1) 検討対象

単線シールドトンネル (トンネル内径*Di*=6.0m) あるいは複線シールドトンネル (トンネル内径*Di*=8.8m) を検討対象とした。セグメントの高さhは単線シールドト

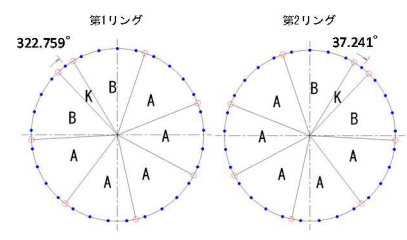
ンネルでは30 cm, 複線シールドトンネルでは常時の設計をもとに40cm(砂質土)と45cm(粘性土)とした. セグメント幅Bについては, 単線シールドトンネルでは1.2m, 複線シールドトンネルでは1.6mとした. セグメントの分割を図-1に示す.

シールドトンネルは、土被りを15mとし、砂質土(N値=25、せん断波速度 V_s =230m/sec、土の単位体積重量 γ =19.0 kN/m³)、あるいは粘性土(N値=3、せん断波速度 V_s =140m/sec、土の単位体積重量 γ =16.0 kN/m³)に位置するものとした。また、地下水位はGL-1.5mに位置し、上載荷重は10 kN/m²を作用させた。なお、基盤層については、せん断波速度 V_s =400m/sec、土の単位体積重量 γ =20kN/m³とした。検討地盤条件を図-2に示す。

トンネル断面、地盤条件、トンネルと基盤層の位置関係を組合わせた計10ケースの試算として検討ケースを表-1に示す。ケース1~4については、トンネルが「均一な地盤内」に位置するケースである。トンネル上端位置を固定として、トンネル断面の単線と複線の違いからトンネル下端と基盤層との離隔は8.4m(ケース1~2)、5.4m(ケース3)、5.3m(ケース4)となる。一方、ケース5



(a) 単線シールドトンネル



(b) 複線シールドトンネル

図-1 セグメントの分割

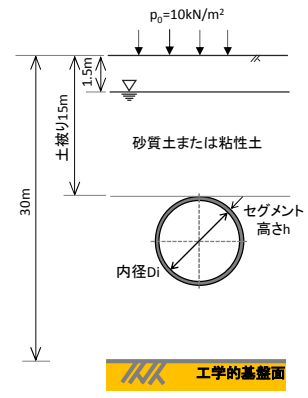


図-2 検討地盤条件

~10は、トンネルが「基盤層の近傍」にあるケースであり、トンネルのスプリングライン面の位置に基盤層が位置する「基盤層に1/2埋没」、トンネルの下端高さから1/4に基盤層が位置する「基盤層に1/4埋没」、トンネルの下端に基盤層が位置する「基盤上」の3つの条件を設定した。トンネルと基盤層の位置関係を図-3に示す。

(2) 検討方法

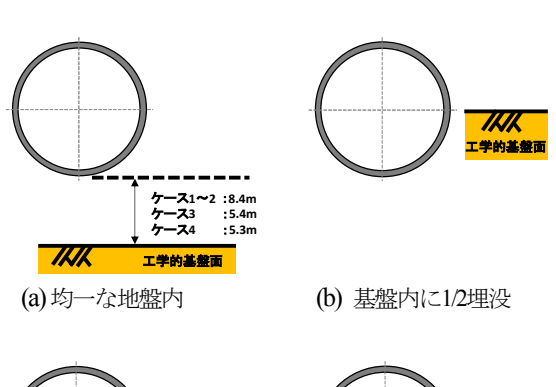
一次元地盤応答解析において地盤変位,周面せん断力 および慣性力を算出し,これをトンネル横断方向の覆工 モデルに入力して地震時の断面力を算定した.その上で, 常時の断面力と地震時の断面力を足し合わせ,鉄道構造 物等設計標準・同解説 耐震設計¹⁾(以下「耐震標準」 とする)に則って損傷レベルの検討を行った.

a) 常時の断面力の算定

常時の断面力の算定は、鉄道構造物等設計標準・同解

表-1 検討ケース

ケース	トン ネル 断面	地盤条件	ì	、ンネルと基盤の 位置関係	セグメント 高さ <i>h</i> [cm]
1	単線	砂質土	均	トンネル下端8.4m	30
2	半 瘀	粘性土	_	トン 个/レド病6.411	30
3		砂質土	な地盤内	トンネル下端5.4m	40
4		粘性土	芮	トンネル下端5.3m	45
5		砂質土		基盤に1/2埋没	40
6	複線	粘性土	基	を <u>協</u> (こ1/2/主(ス	45
7	俊椒	砂質土	基盤層の近傍	基盤に1/4埋没	40
8		粘性土	が近	左○益(□1/4)生(又	45
9		砂質土	傍	基盤上	40
10		粘性土		<u> 奉</u>	45







(c) 基盤内に1/4埋没

(d) 基盤上

図-3 トンネルと基盤層の位置関係

説 シールドトンネル²に則って算出した. 設計作用については、土圧、水圧、自重および上載荷重を考慮した. 砂質土 (N値 =25) のケースでは土水分離とし、Terzaghi の緩み土圧式を用いて土圧を算定した. 粘性土 (N値=3) のケースでは土水一体とし、全土被り圧を作用させた.

図4に設計で考慮した荷重分布(土圧、水圧)を示す.

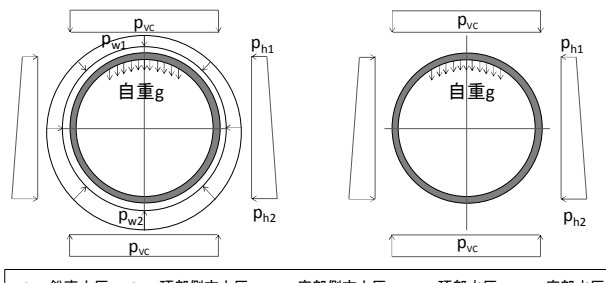
b) 一次元地盤応答解析

地震時の地盤の応答値は、土の応力 τ ~ひずみ γ 関係を非線形性のモデル化として、GHE-Sモデルを用いた逐次解析法により時刻歴応答解析から算出した。基盤層以深のモデル化については、地表面から30mまでモデル化を行い、表層地盤と基盤層の境界条件はダッシュポットとした。減衰の設定に関しては、レーリー減衰を適用し、地盤の主要モード(1、2次)に対して、 α あるいは β を算出した。なお、プログラムはLIQUEUR-JRを使用した。また、設計地震動は、「耐震標準」に示された12地震動スペクトル Π (図-5)を用いた。

c) 地震時の断面力の算定

地震時の断面力の算定にあたっては、一次元地盤応答解析結果によりトンネル上下端間の相対変位が最大となる時刻の地盤変位、周面せん断力、慣性力を算出し、それらを同時に載荷させた.

地震時の地盤ばねは、地盤ばねAと地盤ばねBを設定した。地盤ばねAは、「耐震標準」の開削トンネルの応答変位法に用いる地盤ばねの設定方法によるものである。対象断面が円形であるため、分布幅は円芯から左右45度の範囲(B= $\sqrt{2}R$)とした(\mathbf{Z} - \mathbf{G} - \mathbf{A}).



 p_{vc} : 鉛直土圧 p_{h1} : 頂部側方土圧 p_{h2} : 底部側方土圧 p_{w1} : 頂部水圧 p_{w2} : 底部水圧

(a)砂質土

(b) 粘性土

図-4 荷重分布 (土圧および水圧)

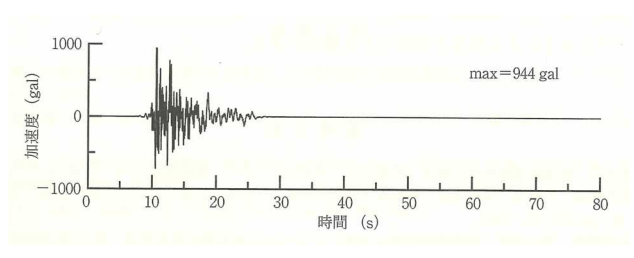


図-5 入力地震動

$$k_v = 1.7\alpha E_0 B_v^{-3/4} \tag{1}$$

k: 上床方向および下床方向の鉛直地盤反力係数 (kN/m³)

α: E₀の算定方法および荷重条件に対する補正係数

E₀: 地盤の変形係数 (kN/m²)

Bv:上床方向および下床方向の換算幅 (m)

$$k_{sv} = k_v/3 \tag{2}$$

kw: 上床方向および下床方向のせん断地盤反力係数 (kN/m³)

側壁方向の鉛直地盤反力係数およびせん断地盤反力 係数についても、同様に算出する.

地盤ばねBは、既往の文献による方法³⁾で設定した. 地盤ばねBのばね定数は、トンネルの変形モードに応じて変化するという特徴がある(図-6-b).

$$k_n = \frac{2G_s}{R} \cdot C_n \quad , \quad k'_n = \frac{2G_s}{R} \cdot C'_n \tag{3}$$

$$C_n = \begin{cases} \frac{1}{2} & (n=0)\\ \frac{2n+1-2v_S(n+1)}{3-4v_S} & (n=1)\\ & (n \ge 2) \end{cases}$$
 (4)

$$C'_{n} = \begin{cases} 0 & (n = 0,1) \\ \frac{n+2-2v_{S}(n+1)}{3-4v_{S}} & (n \ge 2) \end{cases}$$
 (5)

kn: 法線方向(接線方向)の荷重または変位に対して 法線方向(接線方向)に作用する地盤ばねのば ね定数(N/m³)

k'n: 法線方向(接線方向)の荷重または変位に対して 接線方向(法線方向)に作用する地盤ばねのば ね定数 (N/m³)

 G_s : 地盤のせん断弾性係数 (N/m^2)

R:トンネル覆工の図心までの半径 (m)

v:表層地盤の動的ポアソン比

n: トンネルの変形モードのフーリエ次数

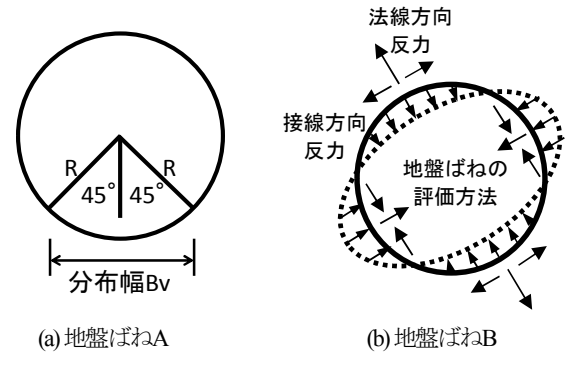


図-6 地盤ばねの評価方法

覆工のモデル化として、セグメント本体は軸力変動を 考慮したテトラリニアモデル、セグメント継手は軸力を 考慮し継手部の力のつり合いと適合条件を基にした回転 ばね特性であるバイリニアモデル、リング継手は常時平 均軸力により算出した線形ばねモデルを用いた。 セグ メント本体の部材モデルの概念図を図-7、セグメント継 手およびリング継手の部材モデルの概念図を図-8に示す。

d) 照査方法

照査方法は、「耐震標準」に則って行った。本報では、曲げ破壊形態を有する部材の損傷レベルを整理して示す。曲げ破壊形態を有する部材の損傷レベルは、②-9のように損傷レベル1では曲率 ϕ ₀相当、損傷レベル2では曲率 ϕ ₀相当、損傷レベル3では曲率 ϕ ₀相当を設計限界値となる。一方で、せん断破壊形態を有する部材の損傷レベルは、損傷レベル1では曲率 ϕ ₀相当を設計限界値となる。

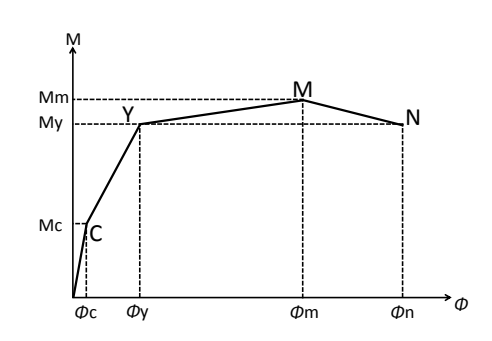
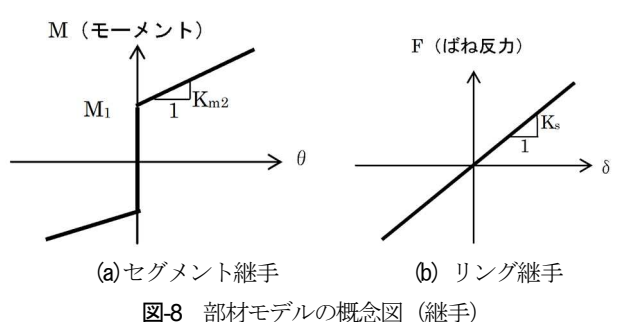


図-7 部材モデルの概念図(セグメント本体)



ELC HALL TO A SOUTHER WELL

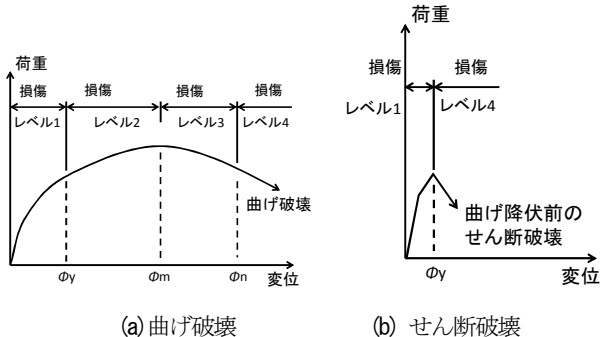


図-9 部材の荷重~変位関係包絡線と損傷レベルの関係

3. 検討結果

(1) 一次元地盤応答解析の結果

図-10に砂質土で均一な地盤内のケース3,図-11に粘性土で基盤に1/4埋没のケース6の一次元地盤応答解析の結果をを示す.ここでは、最大相対変位が表れた時刻の絶対加速度、相対速度、相対変位、せん断応力、せん断ひずみおよびせん断波速度を示している.

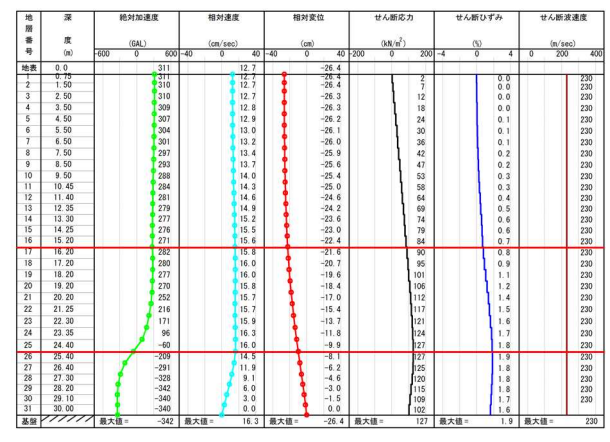


図-10 地盤応答解析結果 (ケース3)

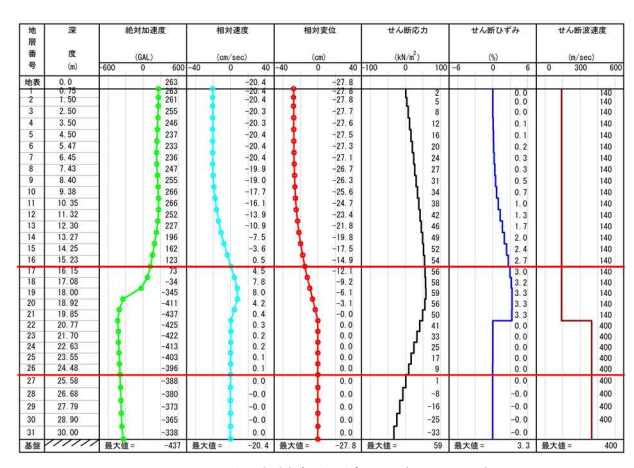


図-11 地盤応答解析結果 (ケース6)

表-2 各ケースの最大相対変位、相対変形角、せん断ひずみ

ケース	ンル断	地盤条件	トンネ ルと基 盤の位 置関係	最大 相対 変位 (cm)	相対変形角	せん断 ひずみ (%)
1	単線	砂質土	均一な 地盤内	5.6	1/111	0.6~12
2		粘性土		8.7	1/73	1.0~1.6
3	複線	砂質土		12.4	1/74	0.7~1.8
4		粘性土		14.4	1/64	0.9~1.6
5		砂質土	基盤に 1/2埋没	10.1	1/91	0.0~2.3
6		粘性土		14.9	1/62	0.0~3.3
7		砂質土	基盤に	14.1	1/65	0.0~2.2
8		粘性土	1/4埋没	18.8	1/49	0.0~2.8
9		砂質土	# AT I	17.2	1/53	1.3~2.2
10		粘性土	基盤上	20.1	1/46	1.7~2.3

各ケースの最大相対変位、相対変形角、せん断ひずみを整理した結果を表-2に示す.

相対変形角は、ケース1以外の全てのケースにおいて、1/100を超える結果となった。また、砂質土のケースの方が粘性土より小さくなった。

(2) 地震時の断面力

粘性土に位置する複線シールドトンネルで、トンネル下端より基盤層が深く均一な地盤内に位置するケース4およびトンネルが基盤に1/2埋没しているケース6の断面力図を図-12に示す.

常時とケース4の最大断面力を比較すると,曲げモーメントおよびせん断力は2倍程度,軸力は0.8~1.3倍となった.また,常時とケース6の最大断面力を比較すると,曲げモーメント2.5倍,軸力は0.6~1.4倍,せん断力については,基盤面との境界部に4.6倍の大きな値を示した.

(3) 損傷レベル

単線シールドトンネルおよび複線シールドトンネルとも、トンネル下端より基盤層が深く均一な地盤内にトンネルが位置するケース1~4では、損傷レベル2以内であり、概ね損傷レベル1におさまっていた。

トンネルが基盤層の近傍に位置するケース5~10では、 基盤層と面する位置の地盤剛性が大きく変化するため、 損傷レベル1を超える箇所が複数あったが概ね損傷レベ ル2以内であった. ただし、トンネルが基盤層に1/2埋没 しているケース6 (地盤ばねB) では損傷レベル2および 損傷レベル3を超える損傷箇所があったが、発生箇所は

図-12 断面力図 (ケース4およびケース6)

一部であった.ケース5およびケース6の曲げ破壊形態を 有する部材の損傷レベル結果を図-13に示す.

各ケースにおける曲げ破壊およびせん断破壊形態を有する部材の照査値結果として、地盤ばねAのケースを表-3、地盤ばねBのケースを表-4に整理した.

曲げ破壊について、トンネルが均一な地盤に位置するケース1~4については、ケース3を除いて損傷レベル1であった。また、ケース3についても損傷レベル2の結果となった。

トンネルが基盤層の近傍に位置するケース5~10では、 損傷レベル1を超えているが、ケース6を除いて損傷レベル2であった。トンネルが基盤層に1/2埋没しているケース6(地盤ばねB)では、損傷レベル3を超過している結果となった。

せん断破壊について、トンネルが基盤層に1/2または 1/4埋没しているケース6と8では、損傷レベル1を超過す る結果となった.

○: 損傷レベル2 □: 損傷レベル4



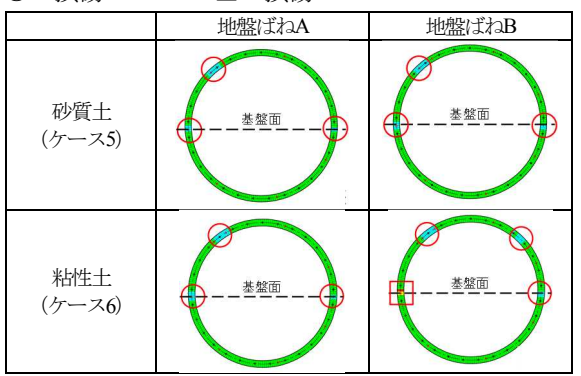


図-13 損傷レベル図 (ケース5~6)

表-3 照査結果 地盤ばねA

ケース	トンネ	地盤条件	トンネ ルと基 盤の位 置関係	曲げ破壊			せん断破壊
	トンネル断面			損傷 いが 相当	損傷 い ル2 相当	損傷 い i/3 相当	損傷 以 M 相当
1	単線	砂質土	均一な 地盤内	0.64	0.12	0.09	0.29
2		粘性土		0.74	0.21	0.15	0.56
3	複線	砂質土		0.95	0.20	0.14	0.68
4		粘性土		0.79	0.17	0.13	0.73
5		砂質土	基盤に 1/2埋没	4.44	0.97	0.71	0.80
6		粘性土		4.51	0.97	0.74	1.14
7		砂質土	基盤に 1/4埋没	1.91	0.40	0.29	0.89
8		粘性土		4.38	0.92	0.70	1.01
9		砂質土	基盤上	1.60	0.33	0.24	0.70
10		粘性土		1.37	0.28	0.21	0.82

表4 照査結果 地盤ばねB

ケース	トンネル断面	地盤条件	トンネ ルと基 盤の位 置関係	曲げ破壊			せん断破壊
				損傷 M 相当	損傷 い ル2 相当	損傷 いい 相当	損傷 以 M 相当
1	単線	砂質土	均一な 地盤内 基盤に 1/2埋没	0.67	0.14	0.10	0.31
2		粘性土		0.78	0.22	0.16	0.57
3	複線	砂質土		1.29	0.27	0.19	0.69
4		粘性土		0.86	0.18	0.14	0.76
5		砂質土		4.44	0.96	0.71	0.82
6		粘性土		6.63	1.38	1.05	1.19
7		砂質土	基盤に 1/4埋没	1.96	0.46	0.34	0.89
8		粘性土		4.25	0.89	0.67	1.02
9		砂質土	基盤上	2.20	0.45	0.33	0.69
10		粘性土		1.43	0.30	0.22	0.85

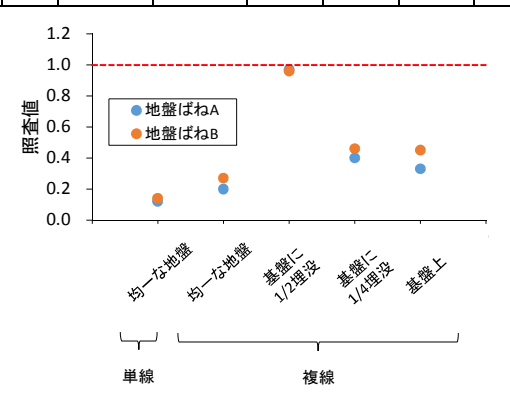


図-14 曲げ破壊の損傷レベル2(砂質土)

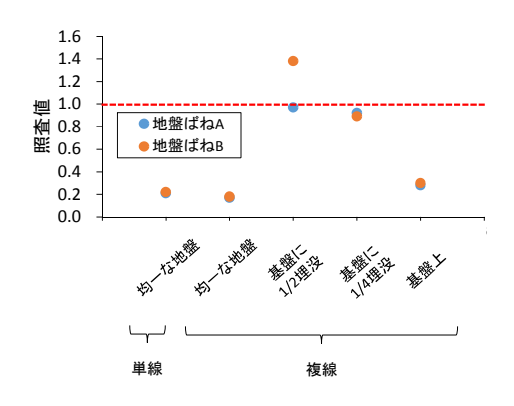


図-15 曲げ破壊の損傷レベル2 (粘性土)

図-14および図-15に曲げ破壊の損傷レベル2に対する照査値を砂質土と粘性土で整理した.これより、地盤ばねAと地盤ばねBは概ね有意な差はみられなかった.ただし、曲げモーメントがM点を超えると応答値が大きくなる傾向があり、粘性土に位置するトンネルが基盤に1/2埋没しているケースのように差がみられる場合もあった.

4. まとめ

本報告では、鉄道シールドトンネルにおける横断方向 を対象に一次元地盤応答解析および応答変位法による地 震時の検討を行った. 得られた結果を以下にまとめる.

- ・単線トンネルと複線トンネルを比較すると、複線トンネルの方が照査値が大きく表れた。
- ・トンネルが均一な地盤内にあり、トンネル下端から離れた位置に基盤層がある条件下では、概ね損傷レベル1におさまっていることがわかった.
- ・トンネルが基盤層の近傍に位置する条件下での曲げ破壊については、損傷レベル1を超え、トンネルが基盤に1/2埋没のケースでは損傷レベル3を部分的に超えたただし、発生箇所は一部であり、構造的な破壊までには至らないものと考えられる。せん断破壊では、損傷レベル1を超える場合もあった。
- ・地盤ばねAと地盤ばねBの2種類の地盤ばねで比較をすると、概ね有意な差はみられなかったが、曲げモーメントがM点を超えると応答値が大きくなる傾向があり、差がみられる場合もあった.

参考文献

- 国土交通省監修 鉄道総合技術研究所編:鉄道構造 物等設計標準・同解説(耐震設計), 2012.
- 2) 国土交通省監修 鉄道総合技術研究所編:鉄道構造 物等設計標準・同解説 (シールドトンネル), 1997.
- 3) 川島一彦:地下構造物の設計, pp.113-116, 鹿島出版, 1994

(2018.8.10 受付)

SEISMIC DESIGN EXAMPLE OF RAILWAY TUNNEL IN LATERAL DIRECTION

Koji FUNAKOSHI, Kiwamu TSUNO, Kiichi FUJITA, Kaho KINOSHITA, Kenichi KOJIMA, Tomohiro KAWANISHI, Tomoki SAKATA and Kosuke MUROYA

Railway shield tunnels may affected by seismic action when they located in the section where ground condition or cover depth changes locally although shield tunnels are generally strong against the earthquake. The seismic design in the lateral direction is investigated based on one-dimensional ground response analysis and response displacement analysis. The results show that the damage falls within "Damage level 1" when the shield tunnels are located uniform ground. On the other hand, it ranges up to "Damage level 3" when the boundary between base ground and soft ground is located close to or just at the shield tunnels.